

構造物が長大化巨大化するに従って、その構造物に生ずる応力を求めるには立体的な応力解析が必要であり、とくに橋梁構造物においては偏心荷重によるねじりが重要な問題と化してくる。本研究は鉄筋コンクリートあるいはプレストレストコンクリート箱げ橋の設計合理化に関する基礎的研究として、その立体的な構造解析を試みんとするものである。鋼箱げ橋においては部材の薄肉を仮定することによって曲げねじり理論などの有効な解析手段を駆使することができ、必ずしも薄肉とは叶せないコンクリート箱げ橋にこの曲げねじり理論を適用することには若干の問題がある。また曲げねじり理論は断面の変形を考慮に入れないため、箱げ橋が数が増加すると実際とは異なり、とくることを予想される。本研究ではコンクリート箱げ橋を折版構造と考へ、折版理論によって構造解析を行なった。一方クリライトを用いて箱げ橋の小型模型製作し、載荷試験を行なった。支台はねじり固定の単柱支持とし、2点載荷($\lambda=45.55^{\text{cm}}$)、偏心距離、 $e=0.5, 10, 13^{\text{cm}}$ について曲げねじり試験を実施した。模型はスパン 100^{cm} の2連箱げ橋で、その断面寸法を図-1に示す。

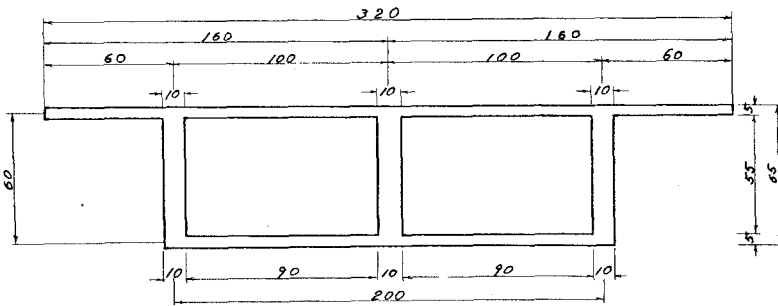


図-1 断面図(1/2)

1. 折版理論による箱げ橋の解析

本研究で用いた折版理論は、Defries-Skene等による、2次元とした Stiffness-Method を多壁折版構造へと拡張した Kiang-Han Chu 等のものである。本研究ではこの理論を箱げ橋に適用したが、解析法の概要を以下に簡単に示す。節点に及ぼす力は荷重によって生ずる固定端力と変位によって生ずる内端力の和を表わされるが、内端力を求める場合には版に垂直な変位と版の面内における変位とに分けて考へている。

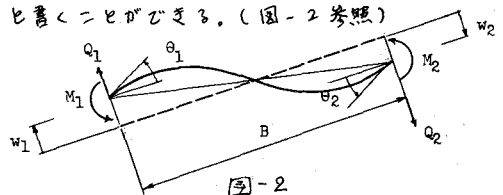
(1) 版に垂直な変位による版の解析

版に垂直な変位の場合には、箱げ橋断面と各版に

よって構成された線部材のラナーニとし、各版に対してはばね角の公式を用いている。各版の内端力(M_1, M_2, Q_1, Q_2)を $[F_s]$ と表わし各版の端部での変位($\theta_1, \theta_2, w_1, w_2$)を $[D_s]$ とし、ばね角公式によって得られる Stiffness Matrix を $[k_{s0}]$ とすれば、

$$[F_s] = [k_{s0}][D_s] \dots\dots\dots (1)$$

と書くことができる。(図-2 参照)



(註: 添字 1, 2 は各版の edge の番号である。)

2. 研究結果の概要

最初に述べた模型の各部応力の理論値を上記折版理論により求めた。計算は京都大学計算センターの電子計算機(KDC-2, プログラム用語: FORTRAN IV)によって行ない、フーリエ級数を第8項まで計算した。一例として偏心距離 $e = 10\text{ cm}$ の場合について、スパン中央断面における橋軸方向応力 σ_x の、折版理論による理論値および曲げねじり理論による理論値と実験値を図-5に示す。実験値は各ラエブの荷重配分の悪いことを示しているが、とくにこの傾向を折版理論による理論値が明確に表わしている。図-5は $\alpha = 315^\circ$ の断面における横断面モーメントの分布を示したもので、実験値は横方向の応力より逆算したものである。偏心距離 $e = 0\text{ cm}$ および $e = 10\text{ cm}$ の場合は、明らかに荷重直下のラエブの沈下によるモーメントが現れどおり、実験値は折版理論による理論値と同様の傾向を示している。しかし $e = 5\text{ cm}$ の場合は荷重真におけるモーメントは実験値より相当大きい値を示している。これは集中荷重のフーリエ級数への展開は収れんが速く、本計算では第8項までしか計算していないためであろうと思われる。

本研究により得られた結果からつぎのことがいえる。

(1) 2連箱げり橋では、荷重が作用した場合断面は変形しており、曲げねじり理論を箱数の多い箱げり橋に適用することには疑問がある。(2) 折版理論による理論値は比較的实验値によくあう。しかし横断面の曲げモーメントに関してはフーリエ級数の項数に問題があり、とくに載荷々重の近傍では級数の収れん性が悪いため項数を増して計算する必要があると思われる。しかし変位によつて得られる橋軸方向応力 σ_x は比較的収れん性がよい。(3) 横断面の曲げモーメントは変位下と考慮すれば断面を線部材のラーメンとして計算してもよい。

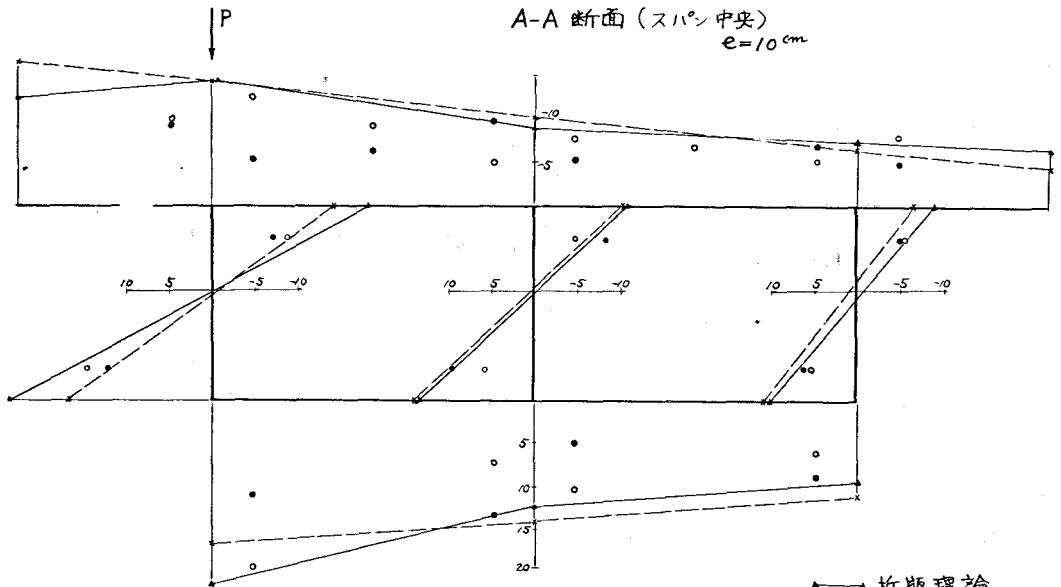


図-5 σ_x の分布 (単位; kg/cm^2)

- 折版理論
- - - 曲げねじり理論
- 実験値(外側)
- 実験値(内側)

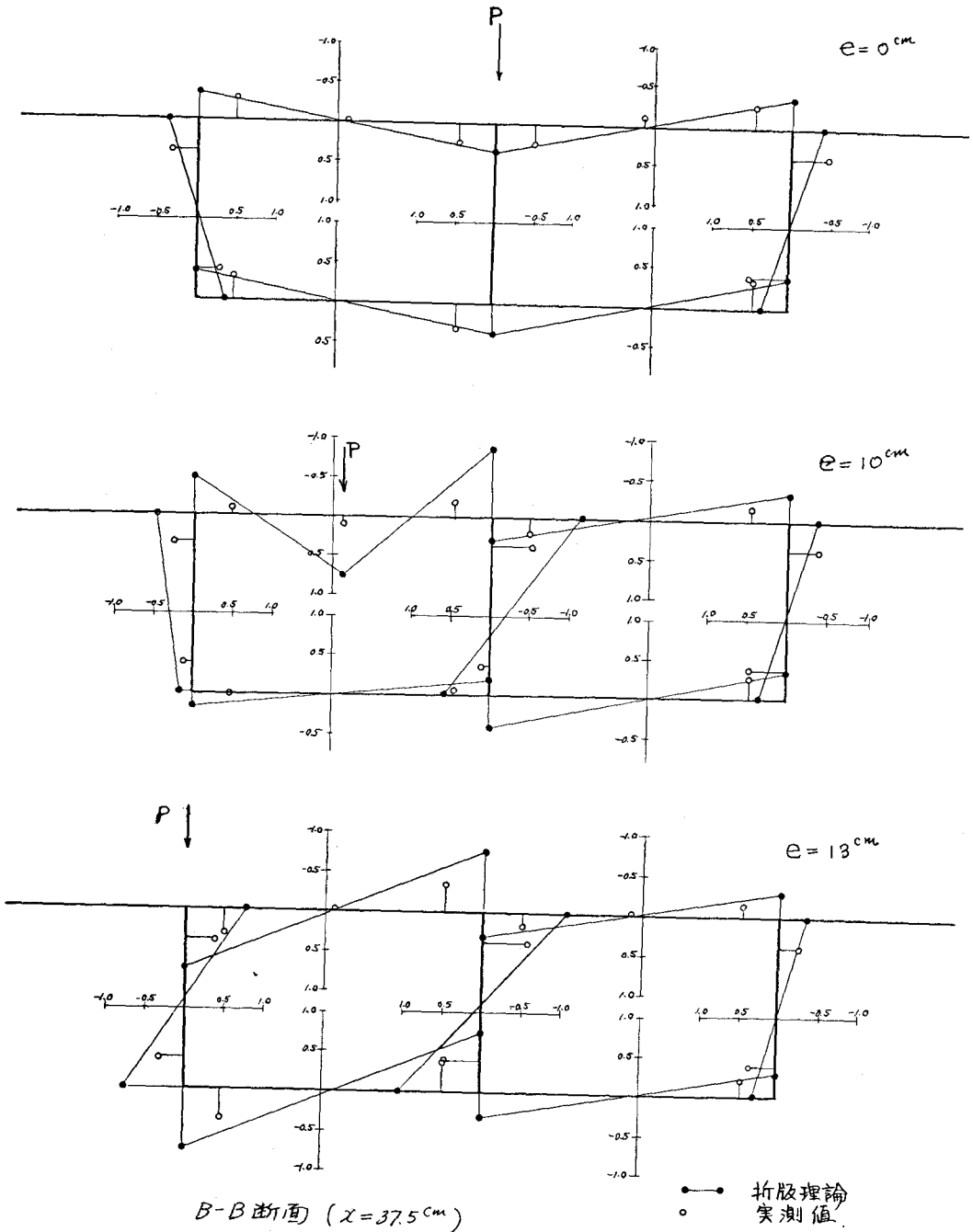


図-6 横断面モーメント分布 (単位; $\text{kg}\cdot\text{cm}/\text{cm}$).